

《報文》 HWAHAK KONGHAK Vol. 18, No. 2, April, 1980, pp.101-108
 (Journal of the Korean Institute of Chemical Engineers)

明礬石의 利用에 關한 研究 (Ⅲ)

明礬溶液으로부터 gibbsite 의 晶出

申 柄 淳 · 金 晃 塑*

漢陽大學校 工業化學科

*漢陽大學校 化學工業科

(접수 1979. 10. 10)

Studies for Utilization of Alunite (Ⅲ)

(For the crystallization of gibbsite in the potassium ammonium alum solution)

Byung-Sik Shin and Myun-Sup Kim*

Department of Industrial Chemistry, Hanyang University, Seoul 133 Korea

*Department of Chemical Engineering, Hanyang University, Seoul 133 Korea

(Received October 10, 1979)

要 約

칼륨암모늄明礬溶液中의 黃酸알루미늄이 암모니아가스 雰圍氣에서 加水分解될 때는 反應이 2段階로 進行되고 一次的으로는 알루미늄의 鹽基性黃酸鹽이 生成되고 繼續해서 암모니아가스를 注入하면서攪拌하여 주면 알루미늄의 鹽基性鹽은 酸化알루미늄水和物인 gibbsite로 轉位됨을 알았다. 이때 알루미늄濃度가 적을수록 또 反應時間이 길수록 gibbsite中의 黃酸基含有量이 적어지고 明礬溶液中의 黃酸알루미늄濃度 9%일 때 25時間以上이 되면 黃酸基가 包含되지 않은 gibbsite를 얻을 수 있었다.

ABSTRACT

In the solution of potassium ammonium alum the hydrolysis of aluminium sulfate with ammonia gas was found to take place in two steps. In the first, basic salt of aluminium sulfate was formed. In the ensuing step this was transformed into gibbsite, one type of the aluminium

oxide hydrate.

Experimental resultus showed that the gibbsite of the lower content of sulfate radical could be formed, the longer the reaction time and the lower the concentration of aluminium in the alum solution. In case with the alum solution 9% a gibbsite practically free from sulfate radical was obtained in 25 hours of reaction time.

1. 緒論

알루미늄製造에 使用되는 酸化알루미늄은 1894年부터 現在에 이르기까지 bauxite를 原料로 Bayer process¹⁾를 適用하여 製造되고 있으나近來에 와서는 莫大한 量의 알루미늄 消費로 因하여 良資의 bauxite 採掘量은 急激히 減退되고 있는 實情이다.²⁾

Bauxite에서 問題가 되는 不純物은 鐵分과 硅酸分이고 硅酸分을 除出하기 為하여 酸處理方法이 便利하나 鐵分 除去는 알카리處理方法이 便利하다는 相反되는 理由때문에 硅酸分이 적은 bauxite에는 알카리處理法 即 Bayer process가 採用되었다. 그러나 硅酸分이 많은 低資의 bauxite에 Bayer process를 適用시키면 鐵分은 勿論 容易하게 除去되지만 알루미나의 一部는 硅酸과 反應하여 不溶性인 Sodium aluminium silicate (red mud; $\text{Fe(OH)}_3 + \text{Na}_2\text{O} \cdot \text{TiO}_2 \cdot \text{H}_2\text{O} + \text{Na}_2\text{O} \cdot \text{Al}_2\text{O}_3 \cdot 2\text{SiO}_2 \cdot x\text{H}_2\text{O}$)가 生成되어 Al_2O_3 와 NaOH의 損失을 가져오고 그 損失量은 bauxite 中의 硅酸分의 量에 比例하여 增加하게 된다. 따라서 硅酸分의 含有量이 많은 鑛石을 原料로 使用코자 할때는 事前에 微粉碎한 鑛石에 石灰石粉末과 曹達灰를 混合하고 1200°C로 加熱하여 硅酸分을 不溶性인 硅酸カル슘로 變化시켜 大部分을 除去한 다음 Bayer process를 適用시키는 方法도 있으나,^{3), 4)} 經濟的의面으로 現在 이 方法이 採用되는 例는 쳇다.

그러므로 本研究에서는 第1報⁵⁾ 第2報¹⁴⁾에서 提示한 바와 같이 明礬石의 黃酸處理溶液에서 加里암모늄明礬을 折出시켜 鐵分을 濾過不離하고 여기서 얻어진 明礬을 다시 물에 넣어 加

熱溶解시키고 徐徐히攪拌하면서 암모니아가스를 注入하여 加水分解시키면 gibbsite의 結晶을 얻을 수 있음을 알았고 이때 結晶의 成長條件을追求하여 最適條件를 얻고 이를 實際에 適用시킨 實驗結果를 報告한다.

2. 實驗

2-1. 實驗裝置, 試料 및 試藥

實驗裝置는 Fig. 1에 圖示한 바와 같다. 化學試藥은 日本關東化學製 1級品을 試料는 第2報에서와 같이 明礬石(육매산)으로 부터 만들어진 加里암모늄明礬을 使用하였다.

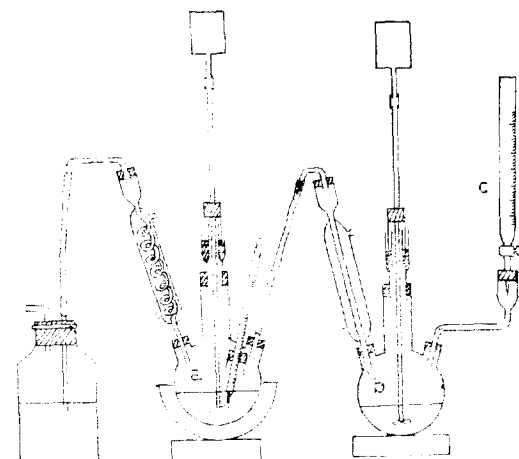


Fig. 1. Apparatus for Precipitating Gibbsite

2-2. 實驗方法

(A) 理論값에 의해 만든 明礬溶液으로부터 알루미나의 製造實驗

明礬石의 黃酸 抽出溶液에 黃酸암모늄을 넣어 칼륨암모늄明礬 結晶을 折出시켰을 때의 組成과 同一하게 되도록 Table 1에 提示된 대로 化學試

藥을 秤量하여 Fig. 1의 (a)에 넣고 蒸溜水를 넣어 加熱溶解한다. (b)에는 所定量의 黃酸암모늄을 넣어 溶解시킨 다음(c)에서 一定流速으로

Table 1. The composition of precipitation and filtrate from the hydrolysis of alum with ammonia gas

Composition of sol.		Reaction time (hr)	Quantity of ammonia (g)	Prospected component of precipitate	Component of precipitate			Ig. loss (%)	Quality of filtrate	
Solute (g)	Water (ml)				Al ₂ O ₃	SO ₃ (wt%)	Al ₂ O ₃ : SO ₃ mol ratio		pH	Unreacted ratio of Al ₂ O ₃ (wt%)
Al ₂ (SO ₄) ₃ 10.0	140	9	1.5	Al ₂ O ₃ ·5SO ₃	36.50	33.50	1 : 1.17	61.4	2.0	26.2
	140	9	2.0	Al ₂ O ₃ ·1.0SO ₃	48.45	31.93	1 : 0.84	50.16	3.7	10.3
	140	9	2.5	Al ₂ O ₃ ·0.5SO ₃	55.56	27.85	1 : 0.64	43.71	4.7	3.6
	140	9	3.0	Al ₂ O ₃	59.99	13.20	1 : 0.28	38.01	6.7	0.0
K ₂ SO ₄ 1.0	160	9	3.0	Al ₂ O ₃	58.92	10.90	1 : 0.24	42.10	6.5	0.0
	180	9	3.0	Al ₂ O ₃	60.02	7.12	1 : 0.15	40.20	6.5	0.0
	200	9	3.0	Al ₂ O ₃	62.90	4.20	1 : 0.05	38.60	6.8	0.0
	220	9	3.0	Al ₂ O ₃	64.50	1.20	1 : 0.02	37.21	6.9	0.0
(NH ₄) ₂ SO ₄ 3.9	140	10	3.0	Al ₂ O ₃	66.15	11.05	1 : 0.21	33.90	7.0	0.0
	140	15	3.0	Al ₂ O ₃	65.07	0.25	1 : 0.00	34.97	7.2	0.0
	140	20	3.0	Al ₂ O ₃	67.02	0.0	1 : 0.00	33.30	7.3	0.0
	140	25	3.0	Al ₂ O ₃	68.45	0.0	1 : 0.00	31.60	7.3	0.0

7.5% NaOH 溶液을 注加하여 (b) 中의 黃酸암모늄을 分解시켜 發生한 암모니아가스를 (a)에 注入하면서 徐徐히攪拌하여 黃酸암모늄을 加水分解시킨다. 그러나 이때 生成되는 알루미나의 結晶은 溶液의 濃度, 反應時間 및 암모니아가스 注入量에 따라 달라질 것임으로 Al₂O₃·3H₂O의 生成過程을 觀察하기 위하여 Table 1과 같은 條件으로 암모니아가스를 注入反應시켜 沈澱物을 擾過分離하고 沈澱物 中의 Al₂O₃와 SO₃의 比 및 澄液中의 알루미나의 残留量을 測定하였다. 또 이를 沈澱物의 型態를 알기 위하여 X-線分析 및 D.T.A., T.G.A. 試驗을 하였으며, 한편 gibbsite 結晶은 電氣爐中에서 1100°C로 3時間 加熱하고 X-線分析하여 그 結晶型을 檢查하였다. 이때 操作條件은 X-線分析에서는 CuKa(Ni-filter) 30KV 15mA, Time const 1, Full scale 1000 c/s로 하였고 D.T.A 및 T.G.A는 鳥津 MTG 11 熱天秤으로 Heating rate 10°C/min, Standard sample Al₂O₃, Chart speed 100mm/hr로 1000°C 까지 分析하였다.

(B) 明礬石의 處理溶液으로 부터 알루미나의

製造實驗

第1報 第2報에 提示한 바와 같아 明礬石을 黃酸分解시킨 溶液에 黃酸암모늄을 넣어 얻어진 加里암모늄明礬(K₂O_{0.21}(NH₄)₂O_{0.79} Al₂O₃·4SO₃·24H₂O)를 試料로 加水分解시켜 生成된 沈澱物의 物性試驗 및 成分分析을 하였다. 이때의 加水分解實驗條件은 前記 實驗에서의 最適條件을 擇하여 實施하였으며, 鹽基性鹽의 沈澱物이 生成하기 始作하였을 때 gibbsite 結晶의 成長을 促進시키기 위하여 seed로서 gibbsite 2.0g을 넣어 주었다.

2-3. 分析

本 實點結果에서 얻어진 알루미나中の SiO₂, Fe₂O₃, MgO, CaO 및 TiO₂의 分析은 Emission Spectrograph(model 40100, Ebert, Jarrell Co.)로 行하였다. 기타 實驗은 前報에 준하였다.

3. 實驗結果 및 考察

明礬溶液을 加熱하고 徐徐히攪拌하면서 암모

니아가스를注入하였을 때의 $\text{Al}_2(\text{SO}_4)_3$ 와 NH_3 의反應機構는 大端히複雜하고,^{6,7,8,9,10,11)} 明確히結論내리기는 困難하나 本實驗에서의 反應生成物은 Table 1 및 Fig. 2-a.에서 미루워 볼 때 一次의으로 鹽基性黃酸알루미늄鹽인 $\text{Al}_2(\text{SO}_4)(\text{OH})_4$, $\text{Al}_4(\text{SO}_4)(\text{OH})_{10}$ 등의 水和物과는 달리 potassium ammonium aluminion sulfate hydroxide [$(\text{KNH}_4)\text{Al}_3(\text{OH})_6(\text{SO}_4)_2$]의洗濾物의生成을 認定할 수 있고豫想하였던 바와 같은 $\text{SO}_3/\text{Al}_2\text{O}_3$ 의理論值와는 差異를 가져왔다. 이때 암모니아가스注入量을 增加시키면 pH는增加되어 沈澱物도 많아지며(Fig. 4), 鹽基性 알루미늄의 鹽基度도 比例하여 增加된다(Fig. 6). 이때 鹽基度는 암모니아가스注入量에는 正比例하지 않으나 pH에는 거의 正比例함을 알았다. 明礬溶液의濃度가 적었을 때 혹은 反應時間이 길었을 때는 pH增加에 比例하여 鹽基性 알루미늄의 鹽基度도 增加率이 커짐을 볼 수 있다(Fig. 6, 7). 이와 같은 現象은 potassium ammonium aluminiom Sulfate hydroxide의溶解度가 적어서 미처溶解되지 못하는데 反하여 암모니아가스는 溶液中에 溶存되어 있음에 起因된다고 본다. 따라서 $\text{Al}_2(\text{SO}_4)_3$ 와 NH_3 의反應은 明礬溶液의濃度를 적게 하고 反應時間 을 延長시키면 potassium ammonium aluminiom sulfate hydroxide는 溶解되면서 aluminium hydroxide로變化되고 잠시동안 2個成分이 共存하게 되나 結局 鹽基性鹽은 溶解되어 激進의으로 酸化알루미늄結晶體로 轉位된다고 생각된다. 上記反應過程에 對한推測은 Table 1과 Fig. 2에서 볼 수 있고 Table 1에서 $\text{SO}_3/\text{Al}_2\text{O}_3$ 의比는時間이 길수록 激進의으로 적어지고, 또 pH=6.8까지反應시켜 얻어진沈澱物에서는 Fig. 2-(a)의X線peak를, 암모니아가스注入量이 많아지고反應時間を 길게하여 얻어진沈澱物의peak에서는 Fig. 2-(b), Fig. 2-(c)의X線peak를 볼 수 있다. 即 알루미늄鹽溶液에서 $\text{Al}(\text{OH})_3$ 가沈澱될 때의pH는 4.5~6.5이나 pH=6.8에서 얻어진沈澱物에서도 potassium ammonium aluminiom sulfate hydroxide의peak가 있다는 것은 NH_3 가溶

液中에 溶存되어 있고 미처 Al^{+++} 라反應하지 않는다는 것을 말해 준다. Fig. 2-(b)에서는 potassium ammonium aluminium sulfate hydroxide의peak는 없어지고識別하기 어려운 peak를 나타내고 있어 鹽基性鹽은 없어지고 aluminium hydroxide의結晶成長過程이라 볼 수 있다. Fig. 2-(c)는反應時間to 延長시켜 얻어진 X線peak이고無定型水酸化알루미늄이結晶화되어 gibbsite의peak를 나타내고 있으며, Fig. 3의 D.T.A 및 T.G.A線圖에서 볼 때 250°C附近에서 $2\text{H}_2\text{O}$ 의放出에 의한質量減少와吸熱 500°C附近에서 H_2O 의放出에依한質量減少와吸熱peak는 gibbsite \rightarrow boehmite \rightarrow $\gamma\text{-Al}_2\text{O}_3$ 로轉位될^{11,12)} 때의peak와一致하는 것으로 보아沈澱物의거의大部分은 gibbsite임을表示하여 주며 結局 칼륨암모늄明礬溶液을 암모니아가스霧圍氣에서長時間加熱攪拌하여 주면 gibbsite로變化된다는 것을 말하여 준다. 또 Fig. 2-(c)에서表示되는 aluminium oxide hydrate를電氣爐中에서 1100°C로 3時間加

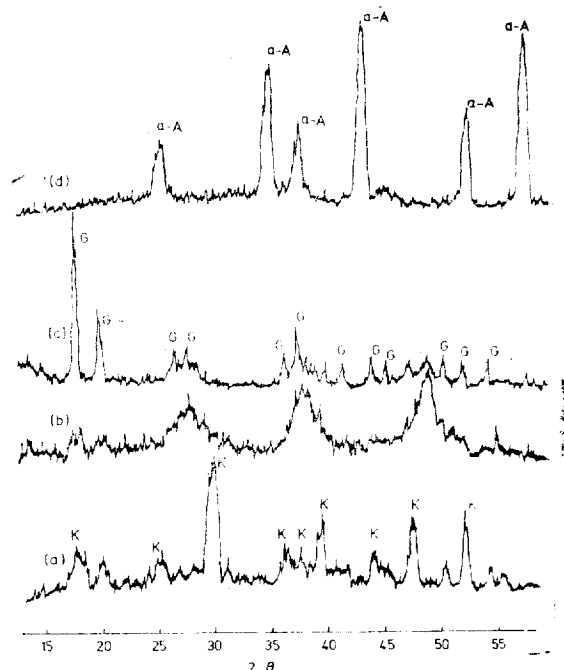


Fig. 2. X-Ray Diffraction Patterns of Prepared in the Hydrolysis Process. K; Potassium ammonium sulfate hydroxide, G; Gibbsite, A; Al_2O_3 , a; Alumina)

熱한 物資의 X-line peak 가 Fig. 2-(d) 이고 aluminium oxide hydrate 는 完全히 $\alpha\text{-Al}_2\text{O}_3$ 로 轉位되였음을 表示하여 준다.

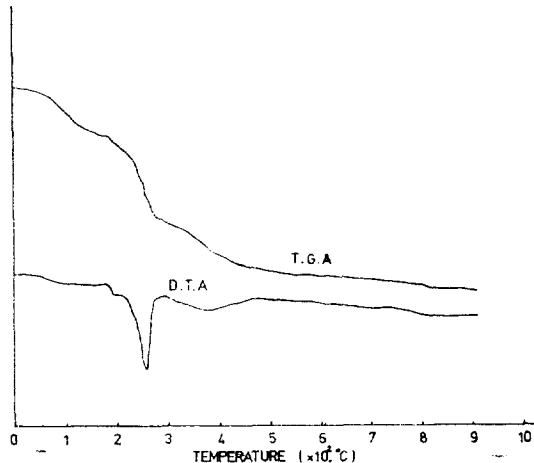


Fig. 3. Thermal Analysis of the Gibbsite Prepared in the Hydrolysis Process

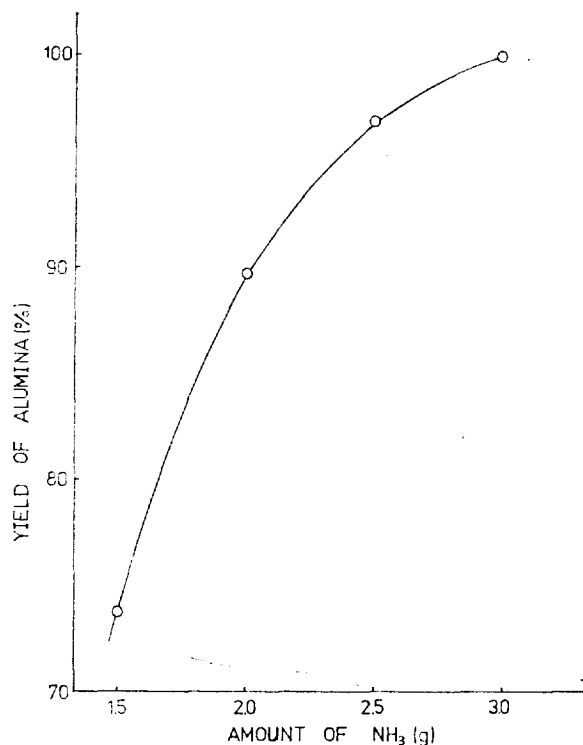


Fig. 4. Yield of Alumina for Amount of Ammonia When Aluminium Sulfate in 9.0% of Alum was Hydrolised with Ammonia

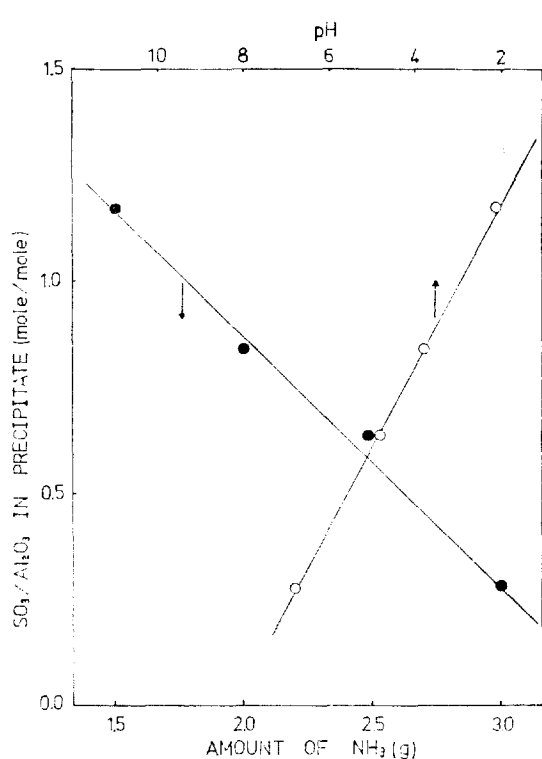


Fig. 5. $\text{SO}_3/\text{Al}_2\text{O}_3$ in the Precipitate and pH in Solution for Amount of Ammonia in 9.0% Solution of Alum

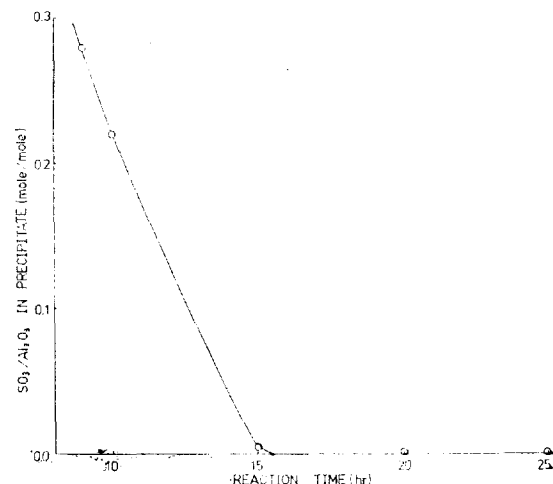


Fig. 6. Relation of $\text{SO}_3/\text{Al}_2\text{O}_3$ in the Precipitate and Reaction Time When Aluminium Sulfate in 9.0% Solution of Alum was Hydrolised with Ammonia Gas

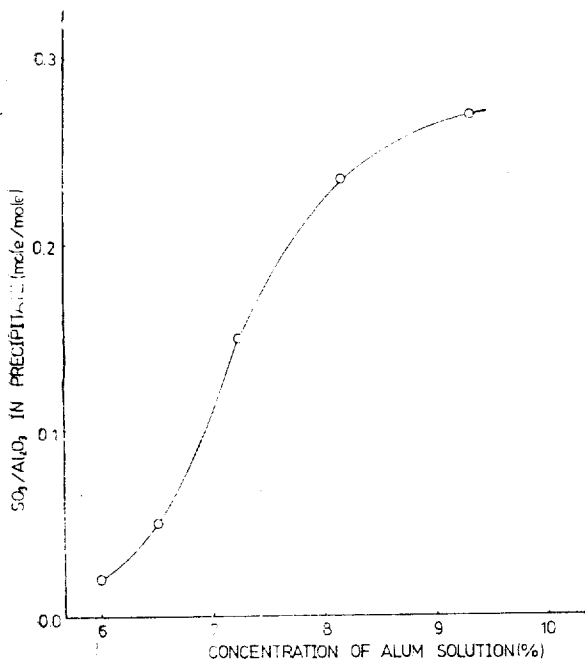


Fig. 7. $\text{SO}_3/\text{Al}_2\text{O}_3$ in the Precipitate for the Concentration of Alum Solution Hydrolised with Ammonia Gas

또 明礬石에서 얻어진 칼륨암모늄明礬을 암모니아가스 雾圍氣에서 加水分解시켰을 때는 gibbsite seed 를 넣어준 關係로 slurry 의 濾過速度가 훨씬 빨았고 結晶이 一層 成長되었음을 證明하여 주었다. 여기서 얻어진 gibbsite 및 $\alpha\text{-Al}_2\text{O}_3$ 의 X-線回折圖는 Fig. 2의 c, d 와 同一하였고 또 gibbsite 를 1100°C 로 3 時間 加熱하여 만들어진 $\alpha\text{-Al}_2\text{O}_3$ 의 組成은 Table 2 와 같고 純度가 좋았음을 알았다.

Table 2. Composition of the alumina product

$\text{Al}_2\text{O}_3(\%)$	$\text{Fe}_2\text{O}_3(\%)$	$\text{MgO}(\%)$	$\text{CaO}(\%)$	$\text{TiO}_2(\%)$	$\text{SiO}_2(\%)$
99.96	trace	0.03	0.01	0.000	0.00

4. 結論

明礬水溶液에 암모니아가스를 注入하여 加水分解하는 實驗에서 다음의 結果를 얻었다.

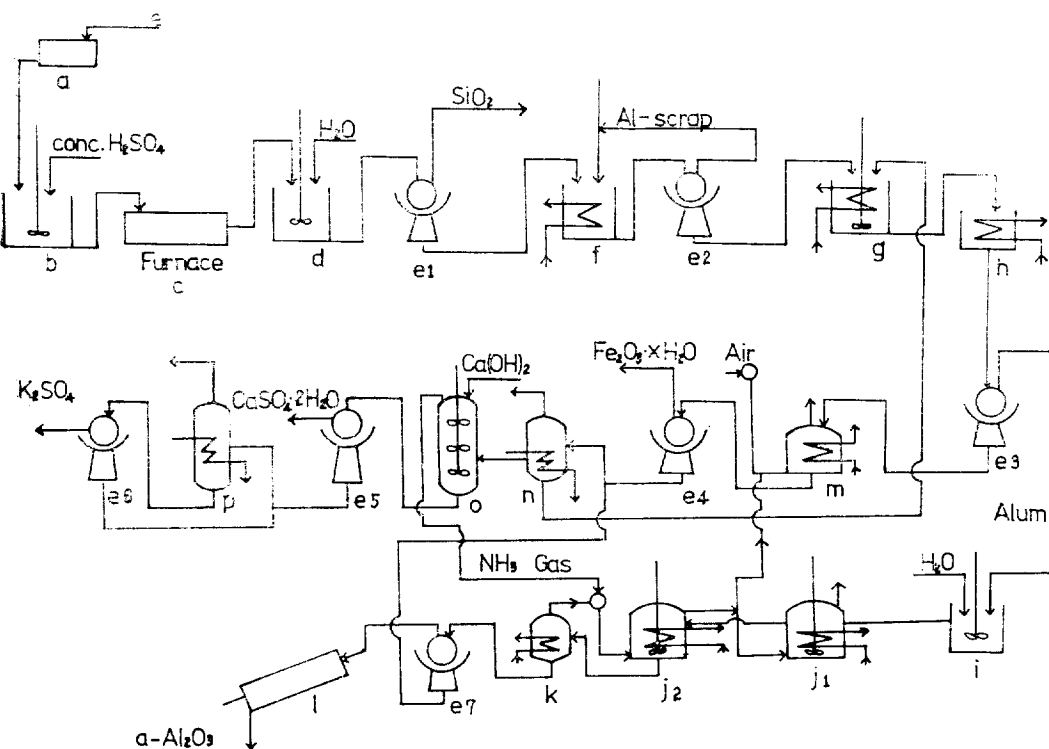


Fig. 8. Schematic Flow Diagram of Manufacturing of Alumina from Alunite

1. 암모니아가스 雰圍氣에서 칼륨암모늄明礬溶液中의 黃酸알루미늄가 加水分解될 때는 一次的으로 黃酸암모늄의 鹽基性鹽이 만들어진 다음에 이것이 다시 아루미나 水和物인 gibbsite로 變化되고 이때의 反應條件은 (a) 反應時間은 길게하고 (b) 알루미늄 濃度가 적을수록 黃酸基含量이 적은 gibbsite가 만들어지고 明礬溶液中의 알루미나濃度 2%일 때 25時間以上이 되면 黃酸基는 包含되지 않음을 알았다.

2. 이와 같이하여 얻어진 gibbsite를 1100°C로 3時間 加熱하여 純度 99.96%의 $\alpha\text{-Al}_2\text{O}_3$ 를 얻을 수 있었다.

本研究를 위하여 物心兩面으로 協助하여 주신 峨山財團에 感謝하는 바이다.

참고 문헌

1. B. Neuman and O. Reinsch, *Z. angew. chem.*, **39**(1927) 1543.
2. 閔丙璇, 化學工學, **7**(1969) 51.
3. 鈴木寛, 日本工業化學雜誌, **15**(1953) 302.
4. 鈴木寛, 日本東京工業試驗所報告, **43**(1949) 2.
5. 申柄湜, 金冕燮, 化學工學, **17**(1979) 179.
6. R.C. Axtman, W.E. Shuler and B.B. Murray, *J. phys. chem.* **64**(1960) 57.
7. G. Denk and L. Bauer, *Z. allgem. chem.*, **267**(1951) 89.
8. 田部日出雄, 日本藥學誌, **77**(1957) 41.
9. 後藤克己, 回栖隆夫, 日本工業用水, **47**(1962) 18.
10. T.H. Whitehead, *Chem. Rev.*, **21**(1937) 113.
11. R.K. Shofield and A.W. Taylor, *J. Chem. Soc.*, **4**(1954) 445.
12. H.C. Slumpf, A.S. Russell, J.W. Newsome and C.M. Tucker, *Ibid* **42**(1950) 1398.
13. D.E. Gorbunova and L.I. Vaganova, *Khim. Referat. Zhur.*, **2**(1939) 31.
14. 化學工學會誌에 提出中

